

討17

BCC金属の異方塑性の理論(II)

— 転位コアの拡張の問題を中心として —

東京大学工学部

橋口 隆吉

BCC金属の異方塑性の問題は竹内¹⁾の解説にその実験的事実が詳しく述べられているように、BCC金属の塑性に関する最も基本的な問題の一つである。転位論の立場からこの問題を解くことができるかできないかは、今日の転位論に向けられた重大な挑戦であるということができよう。BCC金属においては FCC金属に見られるような拡張転位（例えば $a/2[1\bar{1}0] \rightarrow a/b[1\bar{2}1] + a/6[2\bar{1}\bar{1}]$ のようなもの）の存在が理論的にも実験的にも殆んど否定された今日、FCC金属類似の拡張転位を仮定した考え方には捨てなければならない。そこで今日この問題の解決のために、二つの方向での努力がなされている。すなわち（1）転位コアの拡張を考える行き方と、（2）拡張といふことは考えずに別の点に異方塑性の原因を求めようとするものである。後者については鈴木の転位模型のその後の発展²⁾が期待される。前者についてはヨーロッパの研究者がその主流をなし、日本ではこの線に沿った研究を行っている者がないので、筆者が第三者的立場から概観してみたいと考える。

BCC金属の転位コアに関する研究については既に非常に多くの論文があるが、ここでは主として Vitek-Perrin-Bowen³⁾ の論文を中心として述べてみたい。

Vitekらは今日極めて通常化された原子対間の相互作用エネルギーを加え合せて、格子欠陥の安定な形状やエネルギーを電子計算機によって求める方法を活用して、鉄のラセン転位の構造を詳細にしらべた。計算方法の詳細について興味のある方には原論文を参照していただくこととして、本稿においては結果について述べて行きたい。ただ使用した相互作用がかなり変っても、結果を本質的に変えるものではないことを指摘しておきたい。使用された相互作用エネルギーを 図1 に示しておく。J₀は Johnson のホテンシャル⁴⁾、他はそれを修正変更したものである。どれを使っても結果に本質的な違いはない。のむならず Basinski ら⁴⁾のナトリウム結晶の結晶も Vitek らの結果と非常によく似ている。このことは益々相互作用エネルギーの違いは余り問題ではないことを示しており、以下に述べる結果は BCC という結果構造に対する本質的なものであるということを示している。

図2 に Vitek らの結果の一例を示す。この図は BCC 鉄の $a/2[111]$ ラセン転位のコアの構造を示すものであるが、[111] 方向から見たものである。正三角形の配置を示す原子の図は投影図であって、同一面上にそれらがあるのでない。図中の矢印は次のよう意味を持っている。矢の長さの中点は、今考えている原子対 ($\{110\}$ 面内にあって矢の長さの方向の両端にある二つの原子) の中間点に對応する。そしてその二個の原子の紙面に垂直方向の位置の差（これは転位がない場合には $a/6[111]$ となる）が、転位の導入によってどのように变了かというその変化分を矢の長さで示している。図上で原子間の長さ一

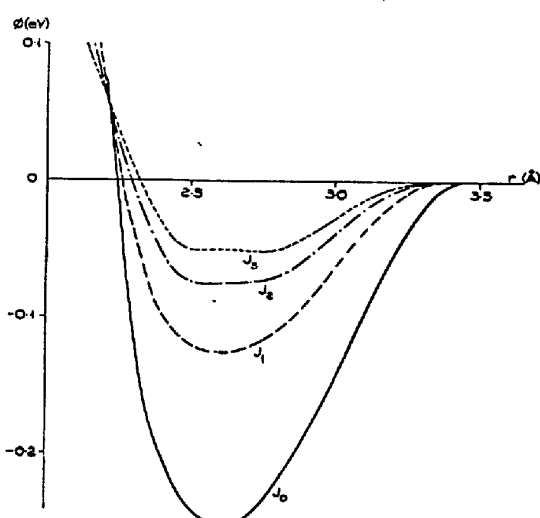


図1 使用された各種の原子対間相互作用エネルギー。（Vitek ら³⁾による。）

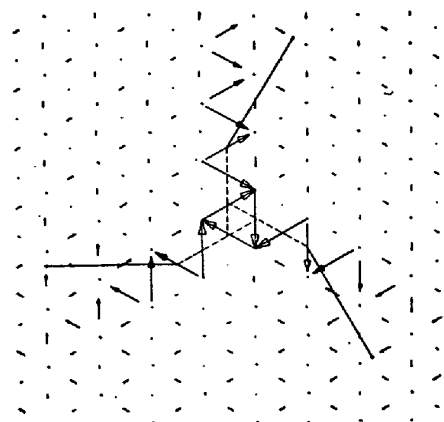


図2 BCC鉄の $a/2[111]$ ラセン転位のコアの拡張。 $\{110\}$ 面内の変位図。(Vitekら³⁾による。)

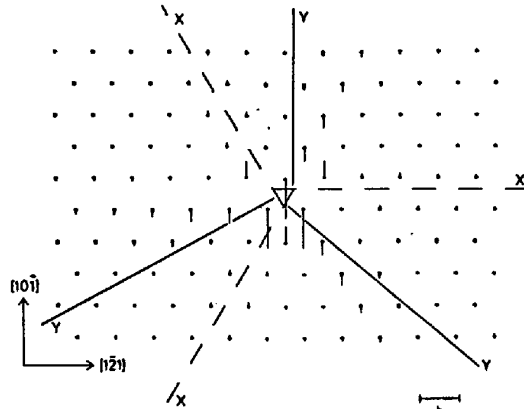


図3 BCCナトリウムの $a/2[111]$ ラセン転位のコアの拡張。 $<111>$ 方向の変位図。(Basinskiら⁴⁾による。)

杯の矢は $|a/6[111]|$ の長さに相当するよう取ってある。

さて図2を見ると次のようないわゆる重要なことが分る。(1)大きな歪の分布は三方向に限られている。その方向と逆の方向には分布していないから、六回対称にはなっていない。(2)三方向の歪について更に正確に云えば、破線で示した三つの $\{110\}$ 面内でコアの中心から外方に向って単調に減少する歪と、実線で示すコアから少し離れた位置に存在し、三つの $\{211\}$ 面内にあり、単調には減少しない歪となる。 $\{211\}$ 面内の歪をVitekらは従来の積層欠陥とは全く異なる、一種の積層欠陥であるという見方をしている。本稿においてはこれを擬積層欠陥(pseudo stacking fault, PSF)と呼ぶことにしよう。PSFの外端に部分転位が存在するとても、図2から分るように、そのバーガースベクトルは $a/6[111]$ に較べて著しく小さいものである。従ってこのラセン転位全体のバーガースベクトルの大半はコアの中心にあることになる。

PSFはその剪断歪が双晶形成の方向に向いたものだけが形成される。これがBCC金属の異方塑性の原因であって、双晶形成方向への上りがより易いことになる。PSFの中には1~2**b**の程度である。

図4に示すように $a/2[111]$ ラセン転位にはエネルギーのやや異なる二つの形態がある。図の左側二つがH(hard)型であり、右の二つがE(easy)型である。H型の方が約8%エネルギーが高い。E型の方が中心からPSFまでの距離が遠い。図4の形を紙面に垂直に180°回転しても形は存在しない。それはPSFの歪が反双晶方向になるからである。

図3はBasinskiら⁴⁾によるナトリウムのBCC結晶中の $a/2[111]$ ラセン転位である。オテンシ

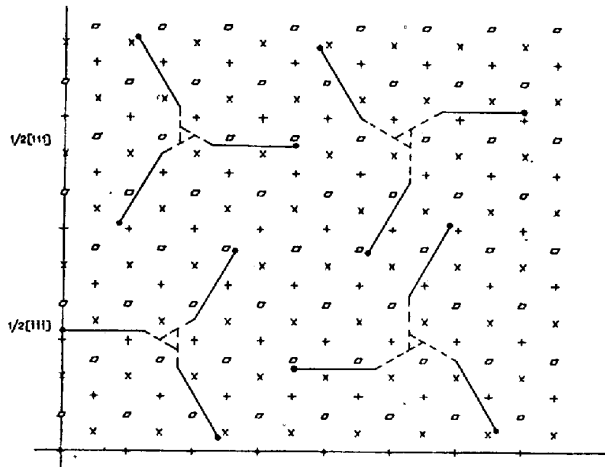


図4 鉄の $a/2[111]$ ラセン転位の四種の形態。左の二つがH(hard)型、右の二つがE(easy)型。(Vitekら³⁾による。)

マルが違うため Vitek らの結果と細かい点では異っているが、大筋においては非常によく似ている。図の各原子から繊方向に伸ばした線は、転位線に平行な変位の弾性理論による値との差を示している。図では実際の値が 10 倍に拡大してある。Basinski らは $\{211\}$ PSF という考え方をとっていないので、ラセン転位が次のように分解していると考える。すなまちそのバーガース・ベクトルの $4/5$ は中心にある、三つの $\{110\}$ 面上に $1/25$ があると見えるのである。

文献

- (1) 竹内伸：本討論会予稿。
- (2) 鈴木秀次：本討論会予稿。
- (3) V. Vitek, R. C. Perrin and D. K. Bowen : Phil. Mag. 21 (1970), 1049.
- (4) Z. S. Basinski, M. S. Duesbery and R. Taylor : Phil. Mag. 21 (1970), 1201.

付記：なお参考のために図 5, 6, 7 を添付しておく。

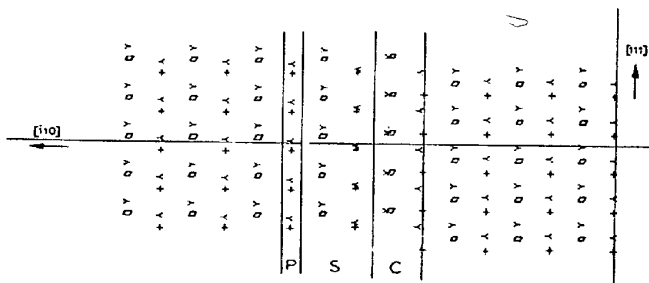


図.5 Vitek ら³⁾ の PSF。図の C はコア, S は積層欠陥, P は部分転位。

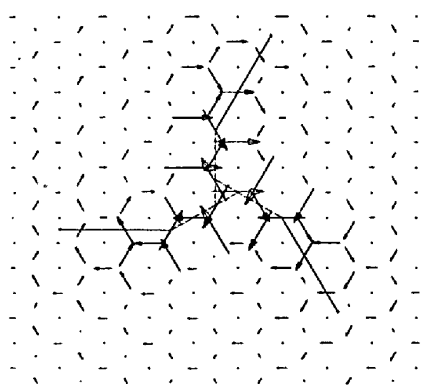


図.6 Vitek ら³⁾ の $a/2[111]$ ラセン転位の $\{211\}$ 面内の変位。

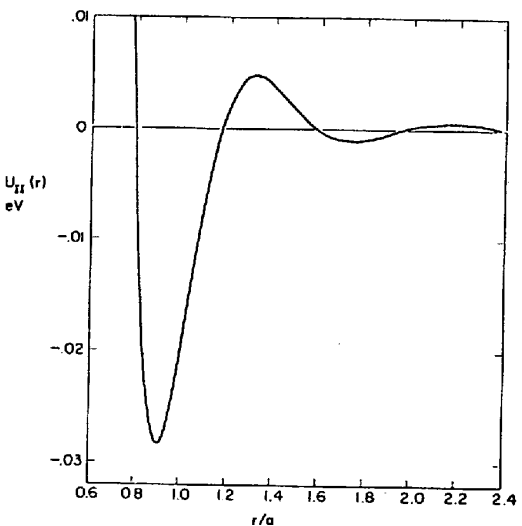


図.7. Basinski ら⁴⁾ のナトリウム・イオン対のポテンシャル。